

کمّی سازی زمین لغزش بزرگ مله کبود ناشی زمین لرزه ۷٫۳ سال ۱۳۹۶ کرمانشاه با استفاده از اینترفرومتری

دریافت مقاله: ۹۶/۱۲/۱۱ پذیرش نهایی: ۹۷/۸/۲۱

صفحات: ۴۷-۶۳

ابوالقاسم گورابی: استادیار گروه جغرافیای طبیعی، دانشکده جغرافیای دانشگاه تهران، تهران، ایران^۱

Email: goorabi@ut.ac.ir

چکیده

دریافت منظم و مکرر تصاویر توسط سنجنده‌های راداری امکان ارزیابی دقیق دینامیک، حرکت و جابجایی سطح زمین در هر منطقه با استفاده از تکنیک‌های مختلف را ممکن ساخته است. پژوهش حاضر از تکنیک رادار دیافراگم مصنوعی (InSAR) برای پایش و شناسایی ویژگی‌های فضایی زمین لغزش همراه با وقوع زمین لرزه ۷٫۳ ازگله در استان کرمانشاه، استفاده کرده است. در این راستا هفت زوج تصویر اینترفرومتریک موجود با همبستگی خوب از داده‌های تصاویر سنتینل ۱ا مرتب با منطقه کوهستانی زاگرس شمال غرب انتخاب، و بکارگرفته شده اند. به کمک تکنیک تداخل‌سنجی، تغییرات توپوگرافی پس از زمین لرزه نسبت به قبل از آن در گستره وقوع زمین لغزش، به صورت فضایی-مکانی به نقشه تبدیل شده‌اند. بر همین اساس تخمین کمّی از تغییرات ارتفاع محلی، حجم توده لغزشی و ضخامت رسوب همراه با زمین لغزش محاسبه و کمّی شده اند. الگوی فضایی حرکت توده نشان می‌دهد که؛ زمین لغزش مله کبود با طول لغزشی ۳۵۷۰ متر در امتداد جهت NW-SE و با حدود ۱۵۰۰-۲۳۰۰ متر در راستای عمود بر ستیغ کوهستان، به شکلی همگرا و جانب مرکز نسبت به محیط زمین لغزش رخ داده است. تغییرات ارتفاعی در مناطق مختلف متفاوت هستند، این مقدار در محل افتگاه ۲۰ متر اندازه گیری شده است. ارزیابی های کمّی نشان می‌دهند که؛ مساحت و حجم منطقه متاثر از حرکت توده زمین لغزش به ۶٫۰ کیلومتر مربع (۵۷۷ هکتار) با حجمی حدود ۵۰۰ میلیون مترمکعب می‌رسد. بررسی‌های مقایسه‌ای بیانگر آن است که زمین لغزش مله کبود بزرگترین زمین لغزش چند سده گذشته ایران است. این مطالعه همچنین پتانسیل تکنیک InSAR به عنوان روشی دقیق و جایگزین برای اندازه‌گیری کمّی حجم و مورفولوژی توده‌های لغزشی بزرگ ناشی از زمین لرزه را اثبات نمود.

کلید واژگان: حجم زمین لغزش، لغزش مله کبود، زلزله ۷٫۳ ازگله (کرمانشاه)، اینترفرومتری

۱. نویسنده مسئول: تهران، دانشگاه تهران، دانشکده جغرافیا، صندوق پستی ۱۴۱۷۸۵۳۹۳۳، تلفن ۰۲۱۶۱۱۱۳۵۲۱

مقدمه

زمین لغزش‌ها، بعنوان یکی از مهمترین بلایایی طبیعی در بسیاری از بخش‌های جهان، می‌توانند در اثر نیروی جاذبه و عواملی دیگری همچون بارش، زمین‌لرزه و فعالیت‌های انسانی ایجاد شوند. زمین‌لرزه‌ها با بزرگای بالا در نواحی کوهستانی پرشیب معمولاً موجب زمین‌لغزش‌های بسیار بزرگی با حجم چندین میلیارد مترمکعب شده‌اند (گالن و همکاران، ۲۰۱۷؛ ونگ و همکاران، ۲۰۱۶؛ وگا و هیدینگ، ۲۰۱۶؛ ستیوان و همکاران، ۲۰۱۶). زمین‌لغزش‌های ناشی از زمین‌لرزه (زمین‌لغزش‌های لرزه‌ای) یکی از مهمترین مخاطرات زمین‌شناختی هستند که به دلیل سرعت وقوع بالای خود می‌توانند منجر به تلفات عظیم انسانی و خسارات قابل توجه مالی حتی بیش از خساراتی که به طور مستقیم از زلزله تحمیل می‌شوند، در برداشته باشند. کمی کردن لغزش‌های ناشی از زمین‌لرزه‌ها می‌تواند در تجزیه و تحلیل نوع، اندازه، ژئومورفولوژی و ویژگی‌های دینامیکی آن‌ها کمک شایانی بنماید. بی شک این دانش در تعیین خصائص و ویژگی‌های زمین‌لرزه‌های مسبب آنها، علم دیرینه لرزه‌شناسی و همچنین برای درک بهتر مکانیزم‌های موثر در پیش‌بینی زمین‌لغزش‌ها و سیستم‌های هشدار دهنده زلزله‌نقشی اساسی می‌تواند داشته باشد (گورابی، ۱۳۹۲).

شناسایی و نظارت بر تغییرشکل شیب دامنه‌ها جهت کاهش خسارات ناشی از لغزش امری حیاتی است. با این وجود، چالش‌های بسیار بزرگی جهت شناسایی و پایش اغلب تغییرشکل‌های بطئی و کند دامنه‌ای وجود دارند. بررسی‌ها نشان می‌دهند که محققین جهت این امر از دو روش میدانی و دورسنجی بهره‌جسته‌اند (هونگ و همکاران، ۲۰۱۸). مشاهدات میدانی، به عنوان مثال؛ نصب جی پی اس، ترازسنج، و ابزارهای دقیق ژئوتکنیکی در بسیاری موارد به دلیل کمبود فضا و مشکلات نصب شان، کمتر موثر یا عملی هستند. علاوه بر این، اندازه‌گیری‌های میدانی نیازمند انجام کارهای عملی پرزحمت و صرف هزینه‌های گزافی هستند. تکنیک تداخل سنجی و اینترفرومتری روزنه مصنوعی رادار (InSAR) برای اندازه‌گیری جابجایی سطوح کوچک در موقعیت‌های مختلف از جمله؛ پدیده‌های مختلف انسانی، زمین‌لغزش‌ها و حفاری استفاده شده‌اند (بایر و همکاران، ۲۰۱۷). تکنیک تداخل سنجی راداری (InSAR) می‌تواند بر بسیاری از محدودیت‌های ذکر شده فوق غلبه نماید، زیرا این روش می‌تواند از راه دور تعداد زیادی از دامنه‌ها را در منطقه‌ای وسیع رؤیت و درعین حال به دقت مشاهده و پایش نماید. تکنیک دورسنجی قادر به اندازه‌گیری جابجایی‌های سطح زمین در مقیاس میلی‌متر تا دسیمتر است (بین و همکاران، ۲۰۱۰؛ کارنی و همکاران، ۱۹۹۶). اگرچه استفاده از تکنیک اینترفرومتری برای نقشه‌برداری تغییرات سطح مرتبط با زمین‌لرزه موفقیت آمیز بوده و بکرات مورد استفاده واقع شده‌اند، ولی اغلب استفاده از تکنیک تداخل‌سنجی برای نظارت بر لغزش در برخی نواحی به دلیل پوشش گیاهی متراکم و توپوگرافی بسیار ناهموار با چالش روبرو بوده است. این شرایط نامناسب اغلب منجر به عدم همبستگی زمانی و مکانی بین تصاویر و بهم‌ریختگی هندسی آنها می‌شوند. عوامل دیگری همچون ویژگی‌های فیزیکی جو زمین نیز از موضوعات نگران‌کننده دیگر در این زمینه هستند (کلسانتی و واسوسکی، ۲۰۰۶).

دانش شناخت دقیق زمین لغزش‌های بسیار بزرگ برای درک بهتر پیچیدگی شکست دامنه‌ها، پارامترهای لرزه‌ای (مانند؛ بزرگا، شکست سطحی، سطح گسلش، لغزش‌های همراه زمین لرزه و بویژه دیرینه لرزه‌شناسی) و پارامترهای زمینی مرتبط با ژئومورفولوژی (مانند شیب، جهت، ارتفاع و شکل شیب) اهمیت زیادی دارد (گورابی، ۱۳۹۲). در پژوهش‌های مختلف، برخی پژوهش‌ها درست بلافاصله بعد از زمین لرزه صورت گرفته‌اند که می‌توانند به برخی بررسی‌های زمین‌شناختی، ژئوفیزیکی و دورسنجی برای شناخت ویژگی‌های زمین لغزش بزرگ اشاره کرد (کیو و همکاران، ۲۰۱۷؛ آمبروسی و همکاران، ۲۰۱۸؛ گورابی، ۲۰۱۸). اگرچه موقعیت جغرافیایی و وسعت متأثر از زمین لغزش را می‌توان با تکنیک‌های مختلف نقشه‌برداری مشخص کرد، ولی به سختی می‌توان جزئیات ویژگی‌های فضایی مربوط به تغییرات توپوگرافی، حجم توده لغزشی و ضخامت رسوب ناشی از آن را با توجه به توپوگرافی ناهموار و پوشش وسیع آن، بدست آورد. تکنولوژی تداخل‌سنجی دیافراگم مصنوعی (InSAR) دارای مزایای زیادی برای مشاهده و بررسی مخاطرات زمین‌شناختی به علت پوشش قابل توجه آنها در کنار تفکیک مکانی بالا در تمام شرایط آب و هوایی دارد (چین و همکاران، ۲۰۱۴). این تکنیک برای پایش و نظارت بر زمین لغزش‌های فعال ایجاد شده توسط زمین لرزه و ارزیابی ریسک و تجزیه و تحلیل شکست آنها مورد استفاده قرار گرفته است (کاساگلی و همکاران، ۲۰۱۶). نظارت بر زمین لغزش‌ها با استفاده از تکنیک‌های مختلف اینترفرومتری (InSAR) از جمله؛ اینترفرومتری دیفرانسیل (DInSAR)^۱ (روئرینگ و همکاران، ۲۰۰۹)، خط مبنای کوتاه (SBAS)^۲ (نولینو و همکاران، ۲۰۱۷)، بازتابنده گوشه (Psinsar)^۳ (بونگا و همکاران، ۲۰۱۷)، و پراکنش مداوم (PSInSAR)^۴ (تانگ و هو، ۲۰۱۲) از روش‌های دقیق پایش و نظارت هستند که معمولاً بر اندازه‌گیری جابجایی زمانی و شناسایی وضعیت لغزش تمرکز دارند. با این حال، تعداد کمی از تحقیقات به اندازه کافی بر ویژگی‌های فضایی و ژئومورفولوژیکی لغزش‌های بزرگ ناشی از زمین لرزه‌ها پرداخته‌اند.

موقع زمین ساختی، شرایط ژئومورفولوژیکی و اقلیمی ایران به همراه جریان شتابان توسعه و دستکاری‌های نادرست انسان در طبیعت باعث شده که هر ساله زمین لغزش‌های زیادی در آن بوقوع بپیوندند. این عامل باعث شده تا محققین در رشته‌های مختلف زمین لغزش‌ها را مورد توجه قرار داده و آن‌ها را از دیدگاه‌های مختلف مورد پژوهش قرار دهند. آنچه در بین پژوهش‌های مختلف بیشتر به چشم می‌خورد استفاده از مدل‌های مختلف در پهنه‌بندی زمین لغزش‌هاست (رامشت و همکاران، ۱۳۹۶؛ پرتابیان و همکاران، ۱۳۹۶). برخی از محققین با شناخت ویژگی‌های مختلف زمین لغزش‌ها به برآورد توان لرزه زایی گسل‌ها و ارزیابی بزرگای زمین لرزه‌های پیش از تاریخ پرداخته‌اند (اسدی و زارع، ۱۳۹۴). امروزه استفاده از تصاویر ماهواره‌ای در ایران جهت شناخت اختصاصات زمین لغزش‌ها جایگاه ویژه‌ای دارند (آروان و همکاران، ۱۳۹۵). در بین تکنیک‌های مختلف

۱ - Differential Interferometry Synthetic Aperture Radar (Dinsar)

۲ - Short Baseline Subset (SBAS) Insar

۳ - Corner Reflector (CR) Insar

۴ - Persistent Scatterer Insar (Psinsar)

دورسنجی تکنیک تداخل سنجی تفاضلی راداری به جهت توانایی آن در پایش زمین لغزش فعال اهمیت زیادی دارد (شیرانی و خوش باطن، ۱۳۹۵).

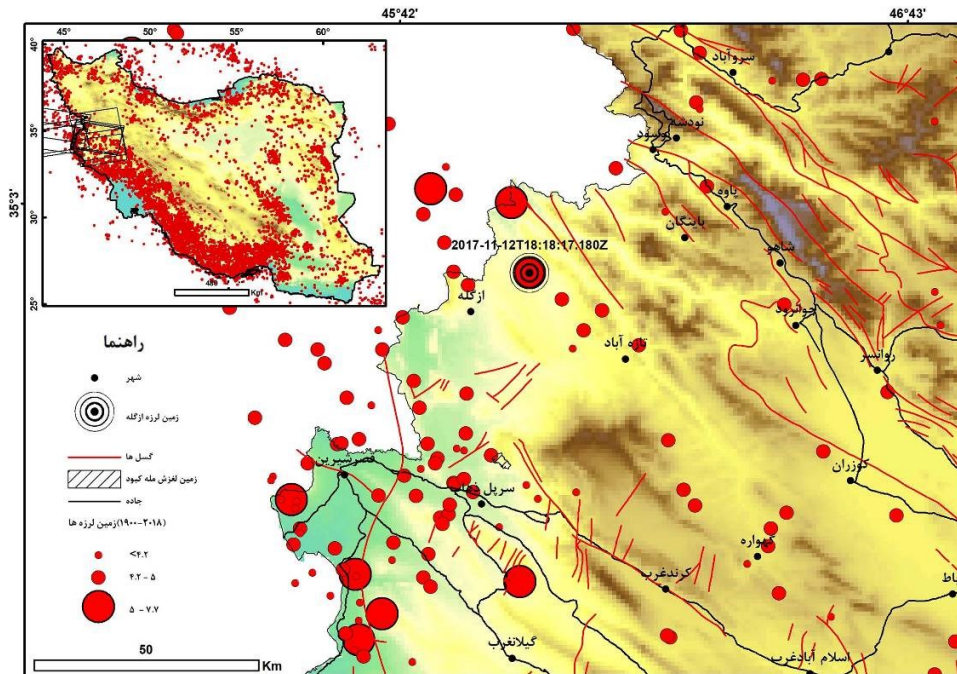
زمین لرزه ویرانگر ۷،۳ ازگله در تاریخ ۲۱ آبان ماه ۱۳۹۶ (۲۰۱۷-۱۱-۱۲) بخش وسیعی از نواحی غربی ایران را تحت تأثیر قرارداد (سازمان زمین شناسی آمریکا، ۲۰۱۷). این زمین لرزه ناشی از دینامیک گسل زاگرس در حاشیه شمال غربی کوهستان زاگرس بوده است. زلزله ازگله بزرگترین رخداد لرزه ای غرب کشور در طی ۵۰ سال گذشته است که تلفات انسانی بیش از ۵۰۵ نفر، ۱ نفر مفقود، ۱۲۳۸۵ نفر زخمی و بیش از ۱ میلیون نفر بی خانمان در برداشت (گزارش پژوهشکده بین المللی زلزله، آبان ۱۳۹۶). این زمین لرزه بزرگ موجب تحریک دامنه ها و حرکات دامنه ای در ناحیه ای به وسعت تقریبی ۲۴،۰۰۰ کیلومترمربع شد، که خوشبختانه، تلفات انسانی مستقیم از آنها تنها ۲ بوده است ۱. براساس بررسی آماری زمین لغزش های چند سده گذشته در ایران، همزمان با وقوع این زمین لرزه، بزرگترین زمین لغزش چند سده اخیر ناشی از زمین لرزه، که ما آنرا زمین لغزش مله کبود نامیده ایم، بین روستاهای قورچی باشی و مله کبود و بر روی دامنه جنوبی کوه شاه نشین به وقوع پیوست. در این بررسی، تغییرشکل ناشی از زمین لرزه ۷،۳ ازگله بر زمین لغزش لرزه ای مله کبود (پیران) طی یک دوره زمانی قبل و بعد از زمین لرزه با تکنیک تداخل سنجی و با استفاده از تصاویر راداری سنتینل پایش شده است.

روش تحقیق

منطقه مورد مطالعه

زمین لرزه ساعت ۱۸،۱۸ دقیقه ۱۲ نوامبر سال ۲۰۱۷ ازگله کرمانشاه در غرب ایران، در مجاورت مرزهای ایران و عراق رخ داد. این منطقه با ارتفاعی بین ۸۰۰ تا ۴۰۰۰ متر در قلمرویی با توپوگرافی متضاد ارتفاعی، شعاعی بیش از ۱۰۰ کیلومتر را تحت تأثیر قرارداد شکل (۱). از جنوب غرب به طرف شمال شرق، این منطقه شامل سه واحد اصلی تکتونیکی؛ دشت خوزستان، کمربند چین خورده زاگرس و زاگرس رورانده است که به زون مورفوتکتونیکی سندرچ-سیرجان متصل می گردد. در همین راستا، سه گسل سرپل ذهاب (گسل پیشانی یا جبهه کوهستان زاگرس، گسل زاگرس مرتفع و گسل مروارید-کرمانشاه-دینور وجود دارند شکل (۲). این گسل ها در طی اواخر کواترنری، همراه با فشردگی و کوتاه شدگی عمیق پوسته، منجر به ایجاد منطقه فعال زمین ساختی سرپل ذهاب در واکنش به همگرایی پلیت عربستان- ایران عمل کرده اند (گزارش زمین لرزه ۱۲ آبان ماه ۲۹۳۱ سرپل ذهاب استان کرمانشاه، پژوهشکده بین المللی زمین لرزه).

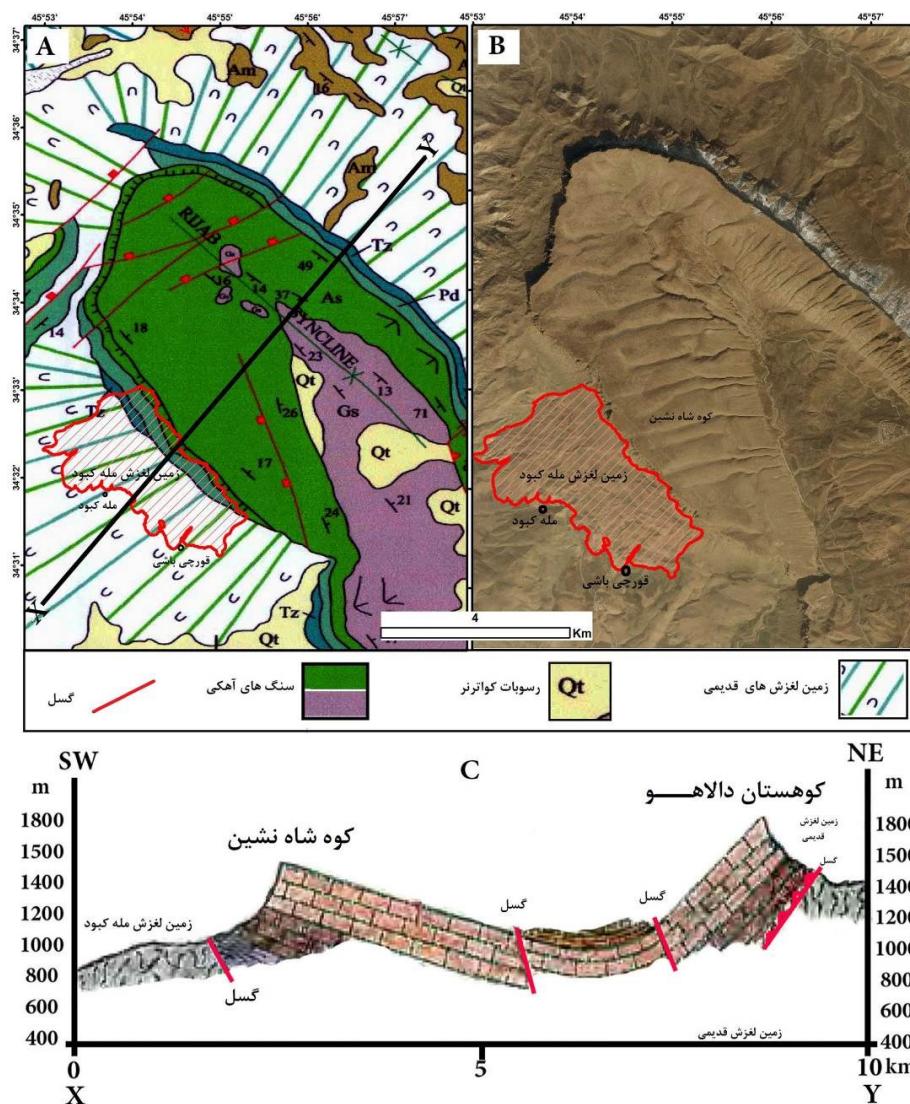
۱ - ۲ نفر در ریزش دره پیران در اثر زمین لغزش جان خود را از دست دادند (بازید محلی نگارنده و مصاحبه محلی با روستائیان منطقه).



شکل (۱). موقعیت جغرافیایی و توپوگرافی منطقه مورد مطالعه

گسل‌های منطقه به ترتیب از جنوبغرب به طرف شمالشرق؛ گسل جبهه کوهستان (سرپل ذهاب)، گسل زاگرس، و گسل زاگرس مرتفع. پوشش داده‌های سنتینل با کادر خاکستری بر روی نقشه ایران نشان داده شده است. منطقه زمین لغزش مله کبود با مربع هاشور مشخص شده است.

براساس گزارش زمین لرزه ۱۲ آبانماه ۱۳۹۶ سرپل ذهاب استان کرمانشاه که توسط پژوهشکده بین‌المللی زمین لرزه ارائه شده است، کانون (نقطه شروع شکستگی) این زمین لرزه حوالی ۱۰ کیلومتری جنوب ازگله بوده است. با توجه به شکل (۱) کانون سطحی این زمین لرزه در حدود ۳۵ کیلومتری شمال شهرهای سرپل ذهاب (۲۳ کیلومتری محل زمین لغزش مله کبود) و ۳۴ کیلومتری قصرشرین و بر روی زون لرزه زمین‌ساختی زاگرس قرار داشته است. زلزله ازگله در راستای گسل پیشانی یا جبهه کوهستان زاگرس با عمق کانونی ۱۸ تا ۲۵ کیلومتر (گزارش زمین لرزه ۱۲ آبان ماه ۱۳۹۶) و ناشی از روراندگی بلوک‌های گسلی به سمت بالا ایجاد شده است. همین منبع اشاره بر آغاز شکستگی در شمال غرب سرپل ذهاب و گسترش آن به طرف جنوبشرقی دارد. بزرگترین سطح تغییر شکل در اطراف شمالغرب سرپل ذهاب در حدود ۰٫۹۰ متر اندازه‌گیری شده است. براساس بازدیدهای صحرایی نگارنده که پس از وقوع زمین لرزه صورت گرفته است، این زلزله باعث ایجاد لغزش‌های بسیاری در منطقه و مسدود شدن جاده‌ها در ساعات اولیه و برخی برای چندین روز شد.



شکل (۲). موقعیت زمین‌ساختی - مورفوتکتونیک (A) و مورفولوژیکی (B) زمین لغزش مله کبود (C)

پروفیل زمین‌شناسی و موقع فضایی زمین لغزش مله کبود بر روی جبهه جنوبی کوه شاه‌نشین (ناودیس پلانچ دار ساخته شده از لایه های آهکی آسماری) را نشان می‌دهد (برگرفته با اضافات از علائی طالقانی و رحیم زاده، ۲۰۱۴).

زمین لغزش مله کبود ناشی از زمین‌لرزه کرمانشاه، بر روی پیشانی ناودیس پلانچ دار مله کبود (کوه شاه‌نشین) قرار دارد (شکل ۲). این زمین لغزش تقریباً ۸-۹ کیلومتری گسل پیشانی یا جبهه کوهستان زاگرس واقع شده است. همانطور که در شکل (۳) به‌وضوح مشخص است دامنه‌ای که این زمین لغزش بر روی آن قرار دارد، قبل از زمین‌لرزه، فاقد زبانه و شکستگی های لغزشی است. برش‌های لغزشی بعد از زمین‌لغزش تقریباً عمود بر

سطح دامنه هستند. سطح آزاد دامنه قبل از زلزله از واریزه و پس از زلزله با زبانه‌های لغزشی فراوان که هر دو بر بستر سنگی آهک قرار دارند مشخص شده‌اند. در پایه دامنه آثار مگا لغزش قدیمی خودنمایی می‌کنند شکل (۲). از نظر پیشینه لرزه‌خیزی، زمین لرزه‌های ۹۵۸ و ۱۱۵۲ میلادی دلالت بر لرزه‌خیزی منطقه دارند (بربریان، ۲۱۰۴) علاوه بر این، نقشه زمین شناسی منطقه شکل (۲)، بررسی‌های دورسنجی و میدانی منطقه بیانگر وجود توالی زمین لغزش ها بر دامنه های شمالی و جنوب کوه شاه‌نشین و دالاهو در منطقه هستند که احتمالاً با زمین لرزه های تاریخی گذشته در ارتباط هستند.

شکل (۳) به ترتیب مورفولوژی سطحی زمین لغزش مله کبود قبل (بالا) و بعد (پایین) از زلزله را نشان می‌دهند.



شکل (۳). زبانه های لغزشی در پای کوه شاه نشین ناشی از وقوع زمین لرزه ازگله.

داده و روش کار

در این تحقیق از داده های راداری سنتینل ۱ جهت کمی سازی زمین لغزش مله کبود استفاده شده است. سنتینل ۱ و ۲ دو گروه ماهواره با هدف مانیتورینگ و نظارت بر زمین و اقیانوس هستند، که مأموریت آنها فراهم آوردن داده های راداری در محدوده باند C است. دوره تناوب و برداشت هریک از یک نقطه ۱۲ روز

نسبت به خودش و ۶ روز نسبت به دیگری است (سنتینل A نسبت به B). این ویژگی سبب می شود تا ارزیابی تغییرات ناشی از زمین لرزه ها بخوبی ممکن گردد. خط مبنایی کوتاه آنها از دیگر محاسن آنهاست که باعث شده تا تصاویر سنتینل جهت بررسی های تداخل سنجی کاربردی امیدوار کننده تر نسبت به سنجنده های قبلی داشته باشند. در نوع جدیدی از برداشت که به نام TOPS SAR شناخته می شوند و در این تحقیق از آنها استفاده شده اند، رزولوشن پیکسل بالاست (حدود ۳,۵ متر در جهت رنج و ۱۴ متر در جهت آزیموت). این تصاویر دارای پوشش وسیعی (تا ۲۵۰ کیلومتر) دارند (دی زن و مونتگی گورنیر، ۲۰۰۶).

به منظور تعیین دقیق ویژگی های فضایی-مکانی زمین لغزش ناشی از زمین لرزه مله کبود، این پژوهش از ۷ جفت تصویر راداری سنجنده سنتینل ۱- مربوط به قبل و پس از زمین لرزه در محدوده باندی C (با طول موج راداری میانگین ۵,۶ سانتی متر) از مسیرهای مداری ۷۹, ۶, ۱۷۴ و ۷۲ در امتداد مدارهای صعودی و نزولی در فواصل زمانی اکتبر تا نوامبر ۲۰۱۷ (۱۲ روز قبل و بعد از زمان وقوع زمین لرزه یعنی ۱۲ نوامبر ۲۰۱۷) استفاده کرده است (جهت تعیین بهترین تصاویر در همین مسیرهای مداری، تصاویر ۳ ماه قبل و بعد از زمین لرزه نیز بررسی شده اند) جدول (جدول). تصاویر مورد استفاده، زوج پلاریزه (FBD)^۱ (VH + VV) بوده اند. دقت پیکسل مکانی این تصاویر به ترتیب ۴,۳ متر در جهت آزیموت و ۱,۷ متر در جهت برد (رنج) هستند، در حالی که زاویه دید مرکزی آن ۳۴,۲ ~ درجه است. گستره پوشش زمینی هر یک از تصاویر راداری بر روی شکل (۱) نقشه ایران) نشان داده شده اند. کادر هاشوردار بر روی شکل (۱) منطقه لغزش مله کبود را نشان می دهد.

جهت انجام فرایند اینترفرومتری، ابتدا زوج تصاویر مورد نظر ثبت مجدد شده اند. ۶ جفت تصویر اینترفرومتریک با همدوسی بالا از بین تصاویر سنتینل قبل و بعد از زمین لرزه با بررسی هیستوگرام تصاویر حاصل و ارزیابی همدوسی و همچنین بررسی بصری وضوح فرینج ها انتخاب شدند. جدول (۱) اطلاعات مربوط به زوج های اینترفرومتریک انتخاب شده را نشان می دهد. فواصل زمانی بین تصاویر (خط مبنای زمانی) ۱۲ تا ۲۴ روز و خط مبنای مکانی ۵۷ تا ۱۰۰ متر بوده اند. لازم به ذکر است که در فرایند اینترفرومتری، تصاویر قبل از زمین لرزه به عنوان مستر (پایه یا اصلی) و تصویر بعد از زلزله به عنوان اسلیو (فرعی یا پیرو) جهت سنجش تغییرات استفاده شده اند. جهت تحلیل تغییرات بعدی از آخرین تصاویر تا زمان ارائه پژوهش (۴ آوریل)، استفاده شده اند، به عبارتی محدوده مورد بررسی در طی حدود ۲۳۰ روز (۲۲ گردش ماهواره) پایش شده است.

۱ - Fine-Beam Dual Polarization (FBD)

۲ - Co-Registration

جدول (۱). مشخصات زوج تصاویر مورد استفاده برای انجام تداخل سنجی منطقه مورد مطالعه

گذر	صعود یا نزولی	خط مبنای مکانی (متر)	خط مبنای زمانی (روز)	مشخصات تصویر	دوره پایش	زمان تصویر اسلیو	زمان تصویر مستر	زوج تصاویر
۷۹	نزولی	۰	۰	S1A_IW_GRDH_1SDV	قبل	-	31-OCT-2017 03:01:49	۱
						12-NOV-2017 03:01:49	-	
۷۹	نزولی	۵۲,۴۶-	۱۲-	S1A_IW_GRDH_1SDV	قبل تا بعد	24-NOV-2017 03:01:49	-	۲
۶	نزولی	۰	۰	S1A_IW_GRDH_1SDV	قبل تا بعد	-	07-NOV-2017 02:53:49	۳
						19-NOV-2017 02:53:48		
۷۹	نزولی	۰	۰	S1A_IW_SLC_1SDV	قبل	-	31-OCT-2017 03:01:49	۴
						12-NOV-2017 03:01:48	-	
۷۹	نزولی	۴۹,۵۵-	۱۲-	S1A_IW_SLC_1SDV	قبل تا بعد	24-NOV-2017 03:01:48	-	۵
۱۷۴	صعودی	۰	۰	S1A_IW_SLC_1SDV	قبل تا بعد	-	06-NOV-2017 14:51:46	۶
						18-NOV-2017 14:51:46	-	
۷۲	صعودی	۰	۰	S1A_IW_SLC_1SDV_	بعد	-	18-NOV-2017 14:51:46	۷
						24-NOV-2017 15:00:04	-	
۷۲	صعودی	۳۳,۵۳-	۱۲-	S1A_IW_SLC_1SDV				

تولید اینترفروگرام

پس از ارزیابی اولیه تصاویر جدول (۱)، زوج تصاویر مناسب برای انجام فرایند اینترفرومتری انتخاب و به کمک نرم افزار SNAP ثبت مجدد و اینترفروگرام های مربوط تهیه شده اند. به طور کلی اختلاف فازهای اینترفرومتریک هر زوج تصویر راداری از یک نقطه ناشی ۵ عامل تغییرات سطح زمین، توپوگرافی، جابجاشدگی، اتمسفر و نویز هستند رابطه (۱)، بنابراین، مقدار اختلاف فاز هر پیکسل در اینترفروگرام حاصل جمع اجزای زیر است:

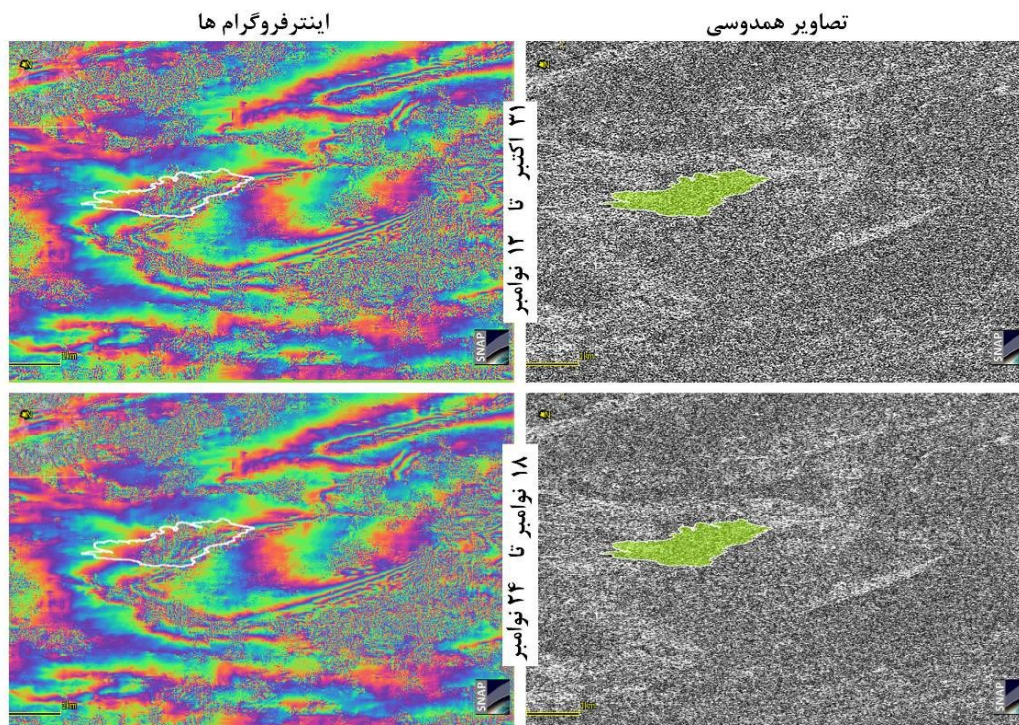
رابطه (۱):

$$\text{اختلاف فاز کل در هر اینترفروگرام} = \text{سطح زمین (۱)} + \text{توپوگرافی (۲)} + \text{جابجاشدگی (۳)} + \text{اتمسفری (۴)} + \text{نویز (۵)}$$

اثر سطح زمین و توپوگرافی قبل از زمین‌لرزه از هر یک از اینترفروگرام‌های اولیه با استفاده از مشخصات الحاقیه‌های مرتبط با مدار ماهواره و مدل رقومی ارتفاعی قبل از زمین‌لرزه تعیین و حذف شده‌اند. در این بررسی، از مدل رقومی ارتفاعی ۳۰ (SRTM 30m) استفاده شده است. سری زمانی اختلاف فاز و اینترفروگرام‌ها پس از حذف اثر فازهای توپوگرافی قبل از زمین‌لرزه تهیه شده‌اند شکل (۴). همانطور که در شکل (۴) مشاهده می‌شوند فرینچ‌های اینترفرومتریک به وضوح قابل مشاهده هستند زیرا مشاهدات فاز به ندرت با نویزها دچار عدم همبستگی شده‌اند. به منظور بازکردن فازها^۱ و بدست آوردن فازهای اینترفرومتریک باز شده، از نرم افزار اسنپ‌فو^۲ که توسط دانشگاه استنفورد ارائه شده، استفاده شده است. برای ارزیابی هم‌دوسی (کوه‌رنسی) دقیق‌تر، الگوریتم مولتی‌لوکینک بر روی هر یک از اینترفروگرام‌ها اجرا شده‌اند. در طی فرایند اخیر هر چند که وضوح مکانی اینترفروگرام کاهش می‌یابد، ولی نسبت سیگنال به نویز افزایش یافته است شکل (۴). از تصاویر حاصل از نرم افزار اسنپ‌فو (اینترفروگرام‌هایی که فازهای آن باز شده) در محیط نرم افزاری اسنپ با توجه به طول موج تصاویر راداری مورد استفاده (۵۶ سانتیمتر)، مدل ارتفاعی نسبی و سپس به کمک مدل رقومی ارتفاعی ۳۰ متر و موقع منطقه در سیستم تصویر UTM و زون ۳۸، مدل رقومی ارتفاعی واقعی تهیه شده‌اند شکل (۵). جهت کمی سازی تغییرات ژئومورفیک زمین لغزش بزرگ مله‌کبود ناشی از وقوع زمین لرزه ۷٫۳ سال ۱۳۹۶ کرمانشاه با استفاده از اینترفرومتری، مدل های رقومی تهیه شده مربوط به قبل و بعد از زمین لرزه کرمانشاه با یکدیگر مقایسه و نتایج مورد تجزیه و تحلیل قرار گرفته‌اند.

۱ - Unwrapping

۲ - Snaphu

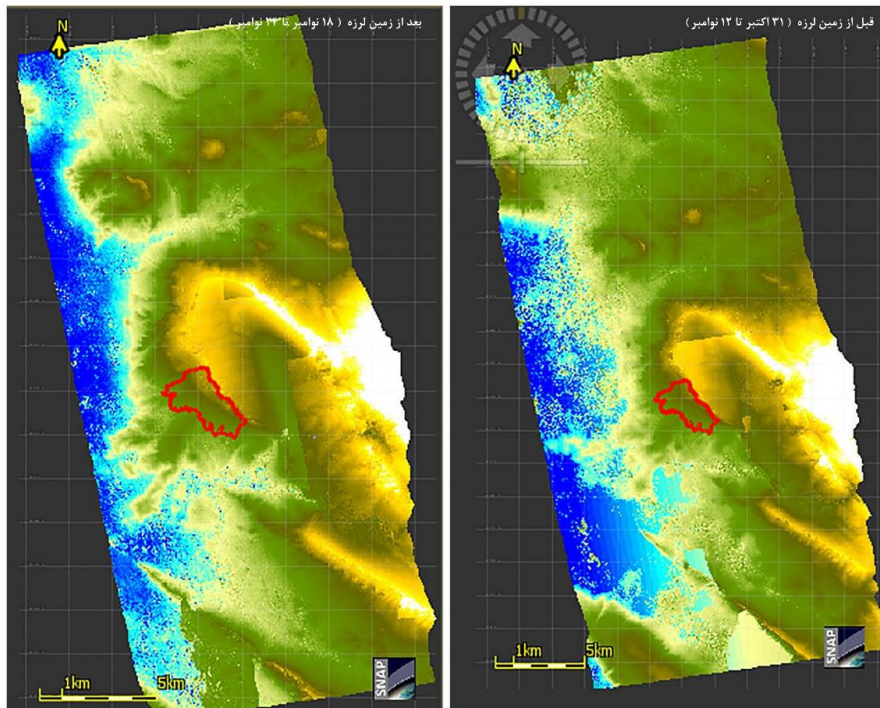


شکل (۴). تصاویر همدوسی و اینترفروگرام‌های قبل و بعد از زمین لرزه جهت تهیه مدل رقومی ارتفاعی

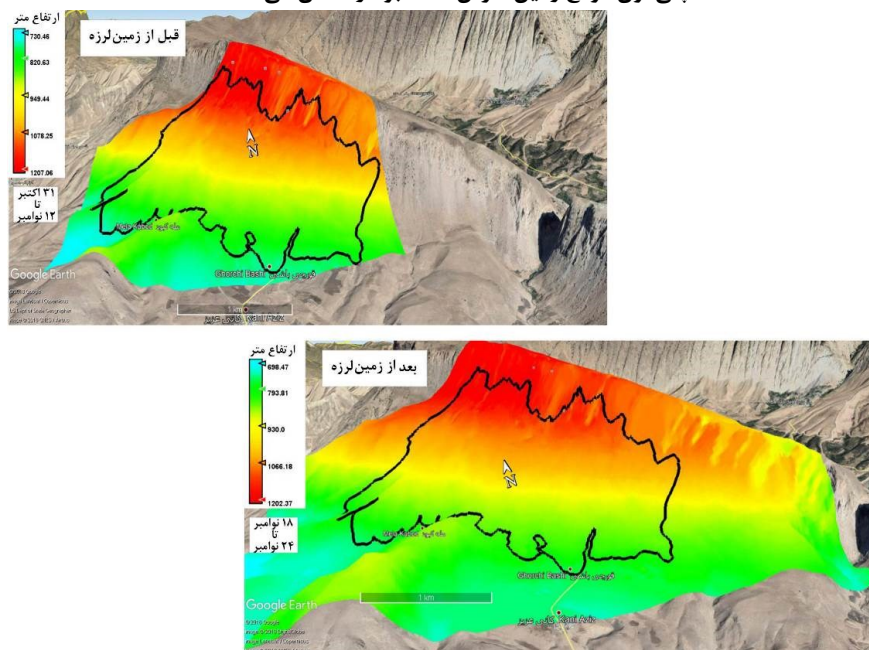
نتایج

الف) ارزیابی کمی تغییرات

شکل (۵) نقشه های ارتفاعی قبل و پس از زمین لرزه ۷٫۳ ریشتری ۱۳۹۶ از گله از منطقه مورد مطالعه را نشان می دهند. مقایسه مدل رقومی ارتفاعی مربوط به قبل و بعد از زمین لرزه در حدفاصل روستای قوچ باشی- مله کبود (شمال شهر سرپل ذهاب) که محل بزرگترین زمین لغزش ناشی از زمین لرزه در آن به وقوع پیوسته است، بیانگر تغییر قابل توجه در این محل است اشکال (۷ و ۶). مقایسه این تصاویر بیانگر تغییرات ارتفاعی در گستره مورد مطالعه و قابل توجه در حدفاصل واقع در پیشانی کوه شاه نشین (در شمال) و روستاهای قوچ باشی و مله کبود (در جنوب) هستند. بررسی آماری مدل های رقومی جدید (بعد از زمین لرزه) و قدیمی (پیش از زمین لرزه) بیانگر کاهش کلی ارتفاع و فرونشست بر روی دامنه در محدوده زمین لغزش مله کبود است. حداکثر کاهش ارتفاع در ارتفاع و جبهه کوهستان شاه نشین ۲۰ متر و افزایش ارتفاع ناشی از لغزش چرخشی و انباشت رسوبات زمین لغزش بیش از ۱۵ متر ارزیابی شد. براساس تعداد کل نقاط پیکسل های تصاویر راداری مورد مطالعه در محدوده زمین لغزش، مساحت محدوده لغزشی حدود ۶ کیلومترمربع (۵۷۷ هکتار) با حجمی حدود ۵۰۰ میلیون مترمکعب برآورد شده است.



شکل (۵). مدل رقومی قبل (راست) و پس از زمین لرزه (چپ) از منطقه مورد مطالعه (تاریخ زمین لرزه ۱۲-۱۱-۲۰۱۷). پلی گون موقع زمین لغزش مله کبود را نشان می دهد.



شکل (۶). همپوشانی مدل رقومی ارتفاعی حاصل از اینترفرومتری منطقه زمین لغزش مله کبود بر روی گوگل ارث

حداکثر طول زمین لغزش، در راستای عمود بر جبهه پرتگاه کوهستانی کوه شاه نشین ۴۵۷۰ متر است. عرض لغزش در راستای محور قوچی باشی- جبهه کوهستان و در راستای شمال-جنوب حدود ۲۳۰۰-۱۵۰۰ متر اندازه گیری شده است. مقایسه جزئیات تغییر ارتفاع پیش و پس از زمین لرزه بیانگر افزایش ۲۰ متری و افت ارتفاعی حدود ۸ متر در پای زمین لغزش است.

تغییرات ژئومورفیک محلی

بازدیدهای میدانی صورت گرفته از محدوده زمین لغزش بیانگر وقوع زمین لغزش‌های مکرر از گذشته تاکنون و وقوع زمین لغزشی بسیار بزرگ بر روی دامنه جنوبی کوه شاه‌نشین در شمال روستاهای مله کبود و قوچ باشی است. بررسی سطح زمین لغزش بر ایجاد لغزشی چرخشی ۱ همراه با شکاف‌های هلالی شکل جانب به مرکز فراوان در زمین لغزش است. در بازدید گستره زمین لغزش، آثار فراوانی از رخداد چندین زمین لغزش قدیمی مشاهده گردید، که بیانگر این است که زمین لغزش مله کبود زمین لغزش لرزه ای فعال و قدیمی است. بر اساس اندازه‌گیری‌های میدانی میزان فروریزی (فرونشست) زمین در محل پیشانی (افتگاه) زمین لغزش (جبهه کوهستان شاه نشین) ۴-۲۵ متر تغییر می کند. عمق این شکاف ها در برخی مناطق به قدری زیاد بود که امکان رؤیت آن وجود نداشت و این شکاف ها مشکلاتی را برای دامداران منطقه و سقوط دام های آنها بدخل آن در بر داشته است. اشکال (۸) و (۷).



شکل (۷). میزان افت زمین در محل پیشانی زمین لغزش (جبهه کوهستان شاه نشین)

به کمک متر لیزری، عمق شکاف های قابل رؤیت در برخی مناطق تا ۵۰ متر اندازه گیری شد شکل (۸). بر اساس مصاحبه با ساکنین و بازدید محلی، میزان اندازه‌گیری راداری صورت گرفته با شرایط میدانی تفاوت چندانی نداشت. بر این اساس روستای ملک کبود ۱۰-۱۵ متر، و روستای قوچ باشی حدود ۱۰ متر پس از زمین لرزه ازگله به طرف مناطق پست تر پیشروی داشته اند.



شکل (۸). الگوی توزیع و شکل شکاف‌ها ناشی زمین لرزه بر روی زمین لغزش مله کبود بیانگر لغزش چرخشی آن است.

نتیجه گیری

همزمان با وقوع زمین‌لرزه ۷٫۳ ریشتری ازگله کرمانشاه در ۲۱ آبان ماه ۱۳۹۶ (۲۰۱۷-۱۱-۱۲) یکی از بزرگترین زمین‌لغزش لرزه‌ای ایران به وقوع پیوست. تغییرات ژئومورفولوژیک ناشی از زمین‌لغزش لرزه‌ای بزرگ مله کبود در گستره‌ای به طول ۴۳۰۰ متر و پهناى حدود ۱۵۰۰-۲۳۰۰ متر روی داده است. این در حالی است که تغییر ارتفاع نسبی زمین لغزش حدود ۲۰ متر در راستای عمودی است. وسعت منطقه متأثر از زمین لغزش به حدود ۶ کیلومترمربع و حجمی حدود ۵۰۰ میلیون مترمکعب برآورد شده است. این بررسی نشان داد که تکنیک اینترفرومتری توانایی برآورد دقیق تغییرات لندفرم‌ها را دارد. براساس نتایج این تحقیق و با توجه به در دسترس بودن تصاویر راداری سنتینل امکان ژئومورفومتری راداری و برآورد تغییرات کمی لندفرم‌ها در گذر زمان و پایش آنها به طور دقیق ممکن شده است. نتایج کمی‌سازی مگالغزش لرزه‌ای مله کبود حاصل از مطالعات میدانی و تفسیر تصاویر راداری نشان داد که نتایج حاصل از اینترفرومتری با بررسی‌های میدانی تفاوت‌های کمی دارند. به عبارتی ویژگی‌های فضایی-مکانی حاصل از این پژوهش با واقعیت آنچه که در طبیعت اتفاق افتاده است، کاملاً موافق هست. لازم به ذکر است که دقت برآورد تغییر ارتفاع و حجم توده لغزشی ممکن است با توجه به خطای موجود در مدل رقومی ارتفاعی مربوط به قبل از لغزش تأثیر بپذیرد.

منابع

- اسدی زینب و زارع مهدی. (۱۳۹۴). برآورد توان لرزه زایی گسل ها و ارزیابی بزرگای زمین لرزه های پیش از تاریخ از داده های زمین لغزش: مطالعه موردی در دره نور (البرز مرکزی)، ۲۴ (۹۵): ۶۷-۷۸.
- آروان، غلامعباس، قریب فریبرز و خلج معصومی معصومه. (۱۳۹۵). آشکارسازی جابجایی زمین لغزش در پهنه لغزشی پشت قلعه دورود با استفاده از تصاویر ماهواره ای نوری، ۲ (۱): ۶۷-۷۸.
- پرتابیان، عبدالرضا، فتوحی صمد و ریگی حامد. (۱۳۹۶). مقایسه کارایی پهنه بندی خطر زمین لغزش با استفاده از مدل های ارزش اطلاعات و تراکم سطح در استان سیستان و بلوچستان، ۷ (۲۴): ۱-۱۱.
- رضایی مقدم، محمدحسین، نیک جو محمدرضا، ولی زاده کامران خلیل، بلواسی ایمانعلی و بلواسی مهدی. ۱۳۹۶. کاربرد مدل شبکه عصبی مصنوعی در پهنه بندی خطر زمین لغزش، ۲۱ (۵۹): ۸۹-۱۱۱.
- شیرانی، کوروش و خوش باطن محبوبه. (۱۳۹۵). بررسی و پایش زمین لغزش فعال با استفاده از روش تداخل سنجی تفاضلی راداری (مطالعه موردی: زمین لغزش نقل، سمیرم)، ۲ (۱): ۵۳-۶۶.
- علائی طالقانی، محمود و زهرا رحیمزاده. (۱۳۹۵). نقش گسل کنند در تحول شکل چین ها در شمال غرب زاگرس مورد: ناودیس ریجاب. فصلنامه جغرافیا و توسعه ۱۱ (۳۰): ۱۷۹-۹۰.
- گورابی، ابوالقاسم. ۱۳۹۲. دیرینه لرزه شناسی. ۱، نشر انتخاب، تهران.
- Ambrosi, Christian, Tazio Strozzi, Cristian Scapozza, and Urs Wegmüller. 2018. "Landslide Hazard Assessment in the Himalayas (Nepal and Bhutan) Based on Earth-Observation Data." *Engineering Geology* 237 (April): 217–28.
- Bayer, B., A. Simoni, D. Schmidt, and L. Bertello. 2017. "Using Advanced InSAR Techniques to Monitor Landslide Deformations Induced by Tunneling in the Northern Apennines, Italy." *Engineering Geology* 226 (August): 20–32.
- Bovenga, Fabio, Guido Pasquariello, Roberta Pellicani, Alberto Refice, and Giuseppe Spilotro. 2017. "Landslide Monitoring for Risk Mitigation by Using Corner Reflector and Satellite SAR Interferometry: The Large Landslide of Carlantino (Italy)." *CATENA* 151 (April): 49–62.
- Carnec, Claudie, Didier Massonnet, and Christine King. 1996. "Two Examples of the Use of SAR Interferometry on Displacement Fields of Small Spatial Extent." *Geophysical Research Letters* 23 (24): 3579–82.
- Casagli, N., F. Cigna, S. Bianchini, D. Hölbling, P. Füreder, G. Righini, S. Del Conte, et al. 2016. "Landslide Mapping and Monitoring by Using Radar and Optical Remote Sensing: Examples from the EC-FP7 Project SAFER." *Remote Sensing Applications: Society and Environment* 4 (October): 92–108.
- Chen, Qiang, Haiqin Cheng, Yinghui Yang, Guoxiang Liu, and Liyao Liu. 2014. "Quantification of Mass Wasting Volume Associated with the Giant Landslide Daguangbao Induced by the 2008 Wenchuan Earthquake from Persistent Scatterer InSAR." *Remote Sensing of Environment* 152 (September): 125–35.
- Colesanti, Carlo, and Janusz Wasowski. 2006. "Investigating Landslides with Space-Borne Synthetic Aperture Radar (SAR) Interferometry." *Engineering Geology* 88 (3): 173–99.
- Dai, Keren, Zhenhong Li, Roberto Tomás, Guoxiang Liu, Bing Yu, Xiaowen Wang, Haiqin Cheng, Jiajun Chen, and Julia Stockamp. 2016. "Monitoring Activity at the

- Daguangbao Mega-Landslide (China) Using Sentinel-1 TOPS Time Series Interferometry.** Remote Sensing of Environment 186 (December): 501–13.
- De Zan, F., and A. Monti Guarnieri. 2006. **“TOPSAR: Terrain Observation by Progressive Scans.”** IEEE Transactions on Geoscience and Remote Sensing 44 (9): 2352–60.
- Dong, Jie, Lu Zhang, Mingguo Tang, Mingsheng Liao, Qiang Xu, Jianya Gong, and Meng Ao. 2018. **“Mapping Landslide Surface Displacements with Time Series SAR Interferometry by Combining Persistent and Distributed Scatterers: A Case Study of Jiaju Landslide in Danba, China.”** Remote Sensing of Environment 205 (February): 180–98.
- European Space Agency. 2018. 2018. <https://earth.esa.int/web/guest/missions/esa-operational-eo-missions/sentinel-1>.
- Gallen, Sean F., Marin K. Clark, Jonathan W. Godt, Kevin Roback, and Nathan A. Niemi. 2017. **“Application and Evaluation of a Rapid Response Earthquake-Triggered Landslide Model to the 25 April 2015 Mw 7.8 Gorkha Earthquake, Nepal.”** Tectonophysics, Special Issue on the 25 April 2015 Mw 7.8 Gorkha (Nepal) Earthquake, 714–715 (Supplement C): 173–87.
- Huang, Da, Dong Ming Gu, Yi Xiang Song, Duo Feng Cen, and Bin Zeng. 2018. **“Towards a Complete Understanding of the Triggering Mechanism of a Large Reactivated Landslide in the Three Gorges Reservoir.”** Engineering Geology 238 (May): 36–51.
- Liu, Peng, Zhenhong Li, Trevor Hoey, Cem Kincal, Jingfa Zhang, Qiming Zeng, and Jan-Peter Muller. 2013. **“Using Advanced InSAR Time Series Techniques to Monitor Landslide Movements in Badong of the Three Gorges Region, China.”** International Journal of Applied Earth Observation and Geoinformation 21 (April): 253–64.
- Novellino, A., F. Cigna, A. Sowter, M. Ramondini, and D. Calcaterra. 2017. **“Exploitation of the Intermittent SBAS (ISBAS) Algorithm with COSMO-SkyMed Data for Landslide Inventory Mapping in North-Western Sicily, Italy.”** Geomorphology 280 (March): 153–66.
- Qu, Chunyan, Ronghu Zuo, Xinjian Shan, Jyr-ching Hu, and Guohong Zhang. 2017. **“Coseismic Deformation of the 2016 Taiwan Mw6.3 Earthquake Using InSAR Data and Source Slip Inversion.”** Journal of Asian Earth Sciences 148 (October): 96–104.
- Roering, Joshua J., Laura L. Stimely, Benjamin H. Mackey, and David A. Schmidt. 2009. **“Using DInSAR, Airborne LiDAR, and Archival Air Photos to Quantify Landsliding and Sediment Transport.”** Geophysical Research Letters 36 (19).
- Samia, Jalal, Arnaud Temme, Arnold Bregt, Jakob Wallinga, Fausto Guzzetti, Francesca Ardizzone, and Mauro Rossi. 2017. **“Characterization and Quantification of Path Dependency in Landslide Susceptibility.”** Geomorphology 292 (September): 16–24.
- Setiawan, Hendy, Kyoji Sassa, Kaoru Takara, Toyohiko Miyagi, and Hiroshi Fukuoka. 2016. **“Initial Pore Pressure Ratio in the Earthquake Triggered Large-Scale Landslide near Aratozawa Dam in Miyagi Prefecture, Japan.”** Procedia Earth and Planetary Science, The Fourth Italian Workshop on Landslides, 16 (Supplement C): 61–70.
- Tung, Hsin, and Jyr-Ching Hu. 2012. **“Assessments of Serious Anthropogenic Land Subsidence in Yunlin County of Central Taiwan from 1996 to 1999 by Persistent**

Scatterers InSAR.” Tectonophysics, Geodynamics and Environment in East Asia, 578 (November): 126–35.

Vega, Johnny Alexander, and Cesar Augusto Hidalgo. 2016. “**Quantitative Risk Assessment of Landslides Triggered by Earthquakes and Rainfall Based on Direct Costs of Urban Buildings.**” *Geomorphology* 273 (Supplement C): 217–35.

Wang, Ying, Chongzhen Song, Qigen Lin, and Juan Li. 2016. “**Occurrence Probability Assessment of Earthquake-Triggered Landslides with Newmark Displacement Values and Logistic Regression: The Wenchuan Earthquake, China.**” *Geomorphology* 258 (Supplement C): 108–19. <https://doi.org/10.1016/j.geomorph.2016.01.004>.

Yin, Yueping, Wamo Zheng, Yuping Liu, Jialong Zhang, and Xiaochun Li. 2010. “**Integration of GPS with InSAR to Monitoring of the Jiaju Landslide in Sichuan, China.**” *Landslides* 7 (3): 359–65. <https://doi.org/10.1007/s10346-010-0225-9>.